

# コンピュータグラフィクス論

## －アニメーション(2)－

2015年5月21日

高山 健志

# 物理ベースの変形アニメーション

# 簡単な例：単一バネ質点 (1D)

- 質点の質量  $m$ , 位置  $x$ , バネの係数  $k$ , 自然長  $l$ , 重力  $g$

運動方程式：

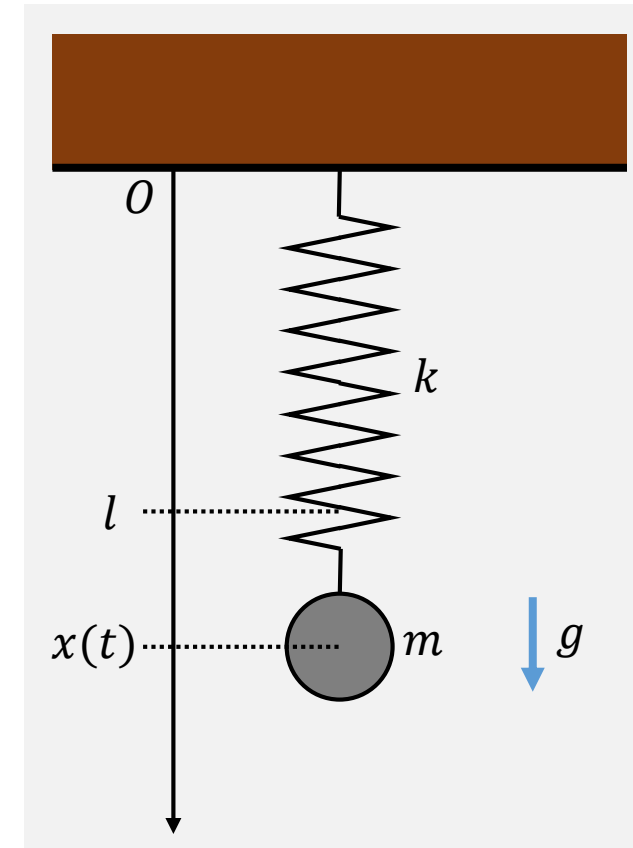
$$m \frac{d^2 x}{dt^2} = -k(x - l) + g$$
$$= f_{\text{int}}(x) + f_{\text{ext}}$$

- 外力  $f_{\text{ext}}$  : 重力、床との衝突、ユーザ操作
- 内力  $f_{\text{int}}(x)$  : 系が安定状態に戻ろうとする力
  - バネの内部エネルギー (ポテンシャル)

$$E(x) = \frac{k}{2} (x - l)^2$$

- 内力はポテンシャルの勾配の反対

$$f_{\text{int}}(x) = -\frac{dE}{dx} = -k(x - l)$$



# 3D 空間上のバネ質点系

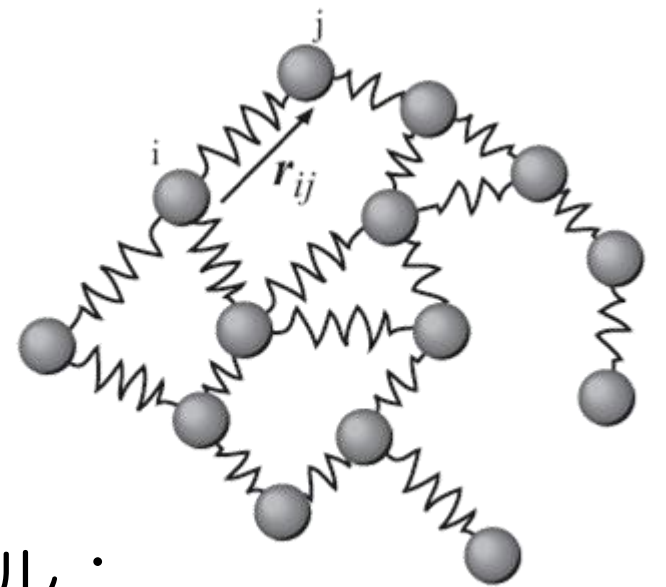
- $N$  個の質点：  $i$  番目の質点の質量  $m_i$ , 位置  $x_i \in \mathbb{R}^3$
- $M$  本のバネ：  $j$  番目のバネの係数  $k_j$ , 自然長  $l_j$
- 状態  $\mathbf{x} = (x_1, \dots, x_N) \in \mathbb{R}^{3N}$  における系のポテンシャル：

$$E(\mathbf{x}) = \sum_{e_j=(i_1, i_2)} \frac{k_j}{2} (\|x_{i_1} - x_{i_2}\| - l_j)^2$$

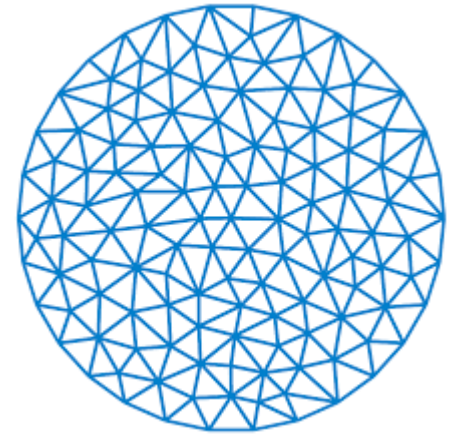
- 運動方程式：

$$\mathbf{M} \frac{d^2 \mathbf{x}}{dt^2} = -\nabla E(\mathbf{x}) + \mathbf{f}_{\text{ext}}$$

- $\mathbf{M} \in \mathbb{R}^{3N \times 3N}$  :  $m_i$  を成分とする対角行列



# 連続な弾性体モデル (有限要素法)



領域を三角形メッシュに分割

- $N$  個の頂点 :  $i$  番目の頂点の位置  $x_i \in \mathbb{R}^2$
- $M$  個の三角形 :  $j$  番目の三角形  $t_j = (i_1, i_2, i_3)$
- 変形前の状態 :  $\mathbf{X} = (X_1, \dots, X_N) \in \mathbb{R}^{2N}$
- 変形後の状態 :  $\mathbf{x} = (x_1, \dots, x_N) \in \mathbb{R}^{2N}$ 
  - 変形勾配行列 :

$$\mathbf{F}_j(\mathbf{x}) = \begin{pmatrix} x_{i_2} - x_{i_1} & x_{i_3} - x_{i_1} \\ X_{i_2} - X_{i_1} & X_{i_3} - X_{i_1} \end{pmatrix}^{-1} \in \mathbb{R}^{2 \times 2}$$

辺ベクトルの変化  
を表す線形変換

- 系のポテンシャル :

$$E(\mathbf{x}) = \sum_{t_j=(i_1, i_2, i_3)} \frac{A_j}{2} \|\mathbf{F}_j(\mathbf{x})^T \mathbf{F}_j(\mathbf{x}) - \mathbf{I}\|_{\mathcal{F}}^2$$

$t_j$  の面積

Green's strain energy

- 運動方程式 :

$$\mathbf{M} \frac{d^2 \mathbf{x}}{dt^2} = -\nabla E(\mathbf{x}) + \mathbf{f}_{\text{ext}}$$

- $\mathbf{M} \in \mathbb{R}^{2N \times 2N}$  : 各頂点のボロノイ領域の面積を成分とする対角行列

# ダイナミックな変形の計算

- 位置  $\mathbf{x}(t)$  と速度  $\frac{d\mathbf{x}}{dt} = \mathbf{v}(t)$  の初期条件

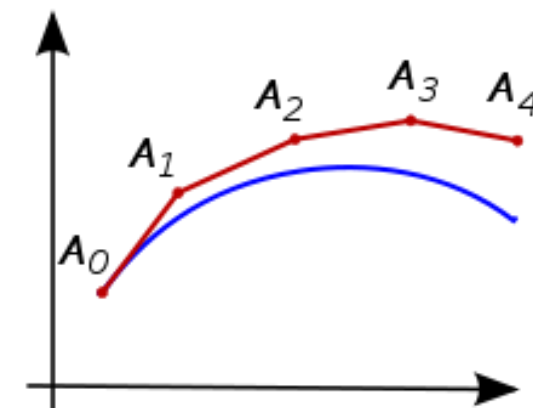
$$\mathbf{x}(0) = \mathbf{x}_0, \quad \mathbf{v}(0) = \mathbf{v}_0$$

を与えられたとき、 $\mathbf{x}(t)$ ,  $\mathbf{v}(t)$  を求める問題 (initial value problem)

- 問題が簡単な場合：単一バネ質点

$$m \frac{d^2 x}{dt^2} = -k(x - l) + g$$

- 解析解が求まる (sine curve)
- 一般の問題には解析解が存在しない
  - 時刻  $t$  における状態  $(\mathbf{x}_n, \mathbf{v}_n)$  から、時刻  $t + h$  における状態  $(\mathbf{x}_{n+1}, \mathbf{v}_{n+1})$  を求める (time integration)
    - $h$  : 時間幅



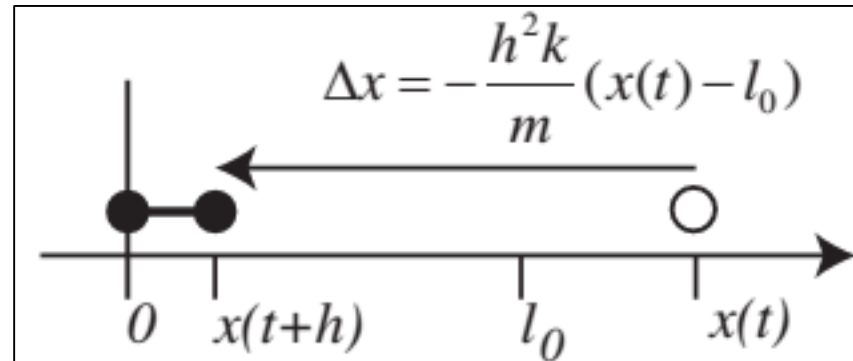
# 最も簡単な方法：explicit Euler

$$\mathbf{v}_{n+1} = \mathbf{v}_n + h \mathbf{M}^{-1} (\mathbf{f}_{\text{int}}(\mathbf{x}_n) + \mathbf{f}_{\text{ext}})$$

$$\mathbf{x}_{n+1} = \mathbf{x}_n + h \mathbf{v}_{n+1}$$

- 現在位置  $\mathbf{x}_n$  から計算した速度  $\mathbf{v}_{n+1}$  で移動先  $\mathbf{x}_{n+1}$  を求める  
→ 計算が簡単

- 問題点：overshooting



- 時間幅を大きくすると、簡単に元の振幅よりも遠い地点に到達する  
→ 時間経過とともにエネルギーが発散

# 使うべき手法：implicit Euler

$$\mathbf{v}_{n+1} = \mathbf{v}_n + h \mathbf{M}^{-1} (\mathbf{f}_{\text{int}}(\mathbf{x}_{n+1}) + \mathbf{f}_{\text{ext}})$$

$$\mathbf{x}_{n+1} = \mathbf{x}_n + h \mathbf{v}_{n+1}$$

- 未知の移動先  $\mathbf{x}_{n+1}$  における内力を使って  $\mathbf{v}_{n+1}$  を定義  
→ overshoot を回避できる
- 難点：計算コストが高い (方程式を解く)



# implicit Euler の中身

$$\mathbf{v}_{n+1} = \mathbf{v}_n + h \mathbf{M}^{-1} (-\nabla E(\mathbf{x}_{n+1}) + \mathbf{f}_{\text{ext}})$$

$$\mathbf{x}_{n+1} = \mathbf{x}_n + h \mathbf{v}_{n+1}$$

$$= \mathbf{x}_n + h \mathbf{v}_n + h^2 \mathbf{M}^{-1} (-\nabla E(\mathbf{x}_{n+1}) + \mathbf{f}_{\text{ext}})$$

- 未知数を区別するために  $\mathbf{x}_{n+1}$  を  $\mathbf{y}$  とおくと、

$$\mathbf{F}(\mathbf{y}) = h^2 \nabla E(\mathbf{y}) + \mathbf{M} \mathbf{y} - \mathbf{M}(\mathbf{x}_n + h \mathbf{v}_n) - h^2 \mathbf{f}_{\text{ext}} = \mathbf{0}$$

- 関数  $\mathbf{F}: \mathbb{R}^{3N} \mapsto \mathbb{R}^{3N}$  のルートを求める問題に帰着  $\rightarrow$  Newton 法

# Newton 法による implicit Euler の計算

- ヤコビ行列  $\mathbf{J}(\mathbf{y}) = \frac{d\mathbf{F}}{d\mathbf{y}} = h^2 \mathcal{H}_E(\mathbf{y}) + \mathbf{M} \in \mathbb{R}^{3N \times 3N}$  を使って、反復計算

$$\mathbf{y}^{(i+1)} = \mathbf{y}^{(i)} + \mathbf{J}(\mathbf{y}^{(i)})^{-1} \mathbf{F}(\mathbf{y}^{(i)})$$

- $\mathcal{H}_E$  : ポテンシャル関数  $E(\mathbf{x})$  のヘシアン行列 (2階微分)
- 大規模線形方程式の係数行列が、反復毎に変わる  $\rightarrow$  計算が大変!

# バネ質量モデル vs 連続体モデル (FEM)

- 微小要素の変形量の合計としてポテンシャルを定義する点は共通
  - いずれも implicit Euler が必要
- 2D/3D 領域を密に満たす物体を近似する場合、バネ質量は不正確
  - 紐などに対しては有効
- FEM は一般に計算コストが高い
  - 領域のメッシュ分割
  - 複雑なポテンシャル関数
    - 多様な (非線形) 材質を扱える

	バネ質量	FEM
物理的正確さ	△	○
計算・実装コスト	○	△

# Position-Based Dynamics

# PBD : CG に特化した物理アニメーション計算

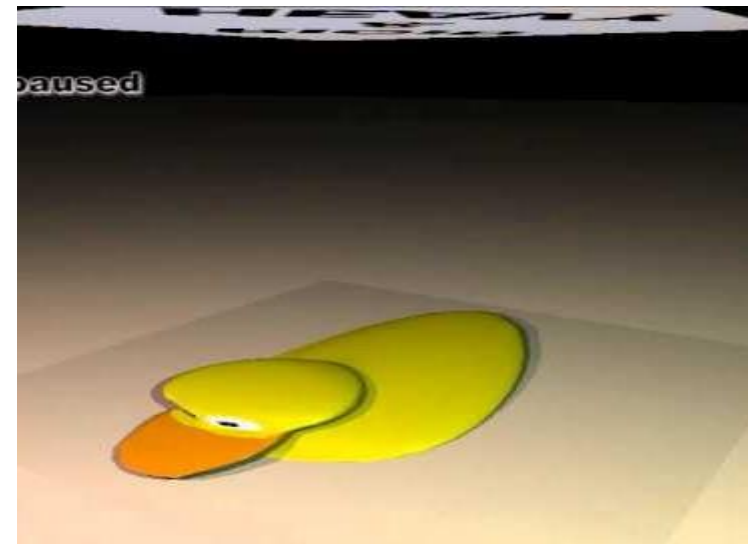
- PBD の最初の論文

- Meshless deformations based on shape matching [Müller et al., SIGGRAPH 2005]
- Position Based Dynamics [Müller et al., VRIPhys 2006]

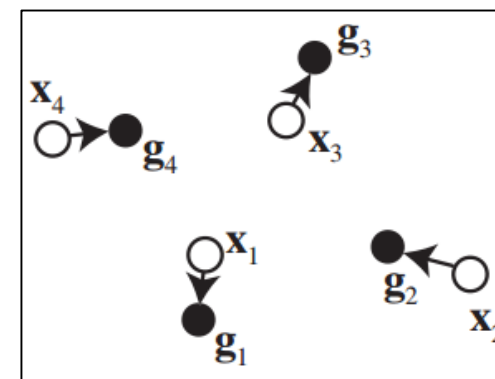
- 基本アイデア

ポテンシャルがゼロになる点 (goal position) を求め、そこに向けて質点 (パーティクル) を引っ張る

- 系全体のエネルギーが必ず減少する (発散しない)
- 計算が簡単 → ゲーム等に最適
- 物理的に意味のあるエネルギーに基づく計算 (FEM) ではない
  - CG 用途なら問題無し



<https://www.youtube.com/watch?v=CCIwiC37kks>



# 単一のバネ質点の場合

$$v_{n+1} = (1 - \alpha) \left( v_n + h \frac{f_{\text{ext}}}{m} \right) + \alpha \frac{l - x_n}{h}$$

goal position

$$x_{n+1} = x_n + h v_{n+1}$$

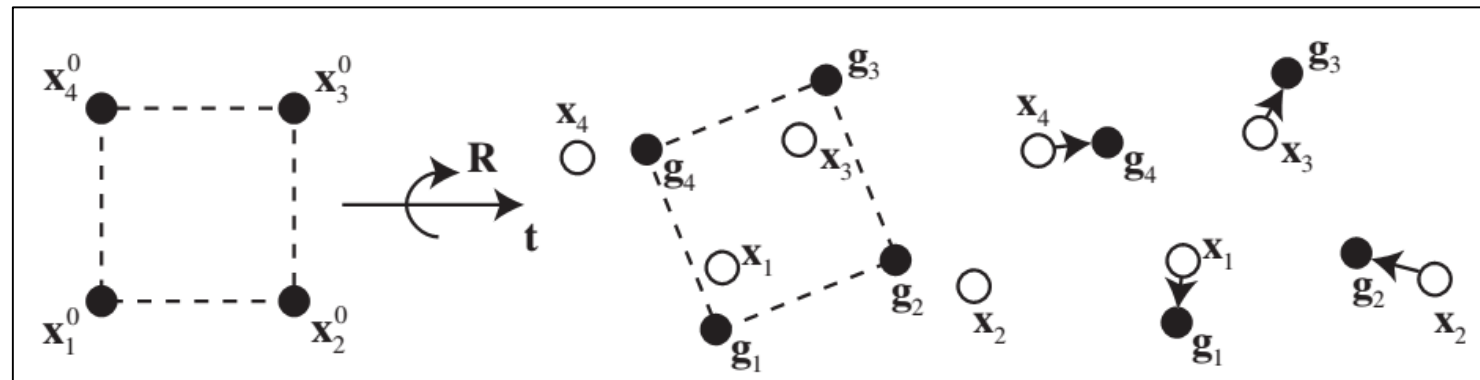
論文の式 (9) は間違い (?)

- 問題：一般の場合に、goal position をどう求めるか？

# Shape Matching による変形計算

- 基本アイデア：

- 初期の形状を、現在の形状に最も近づけるような剛体変換を求め、それを goal position とする



- 平行移動  $t$

- $t = c - C$  (初期の重心と現在の重心の差)

- 回転  $R$

- モーメント行列

$$A = \sum_i m_i (\mathbf{x}_i - \mathbf{c})(\mathbf{X}_i - \mathbf{C})^\top$$

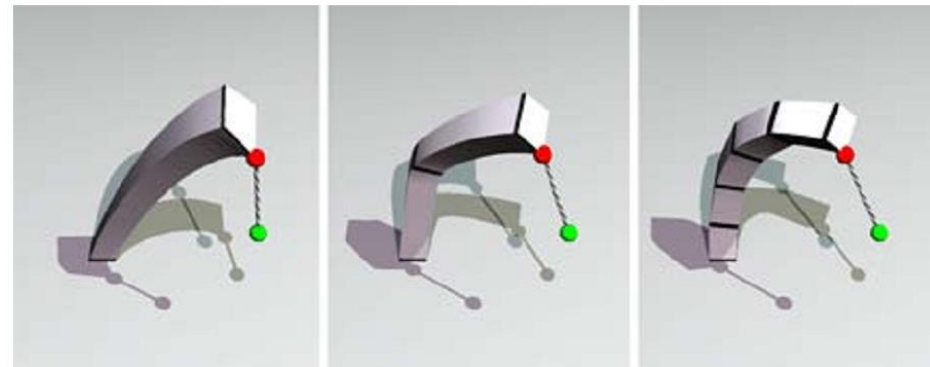
から、回転成分を取り出す

$$R = A (A^\top A)^{-1/2}$$

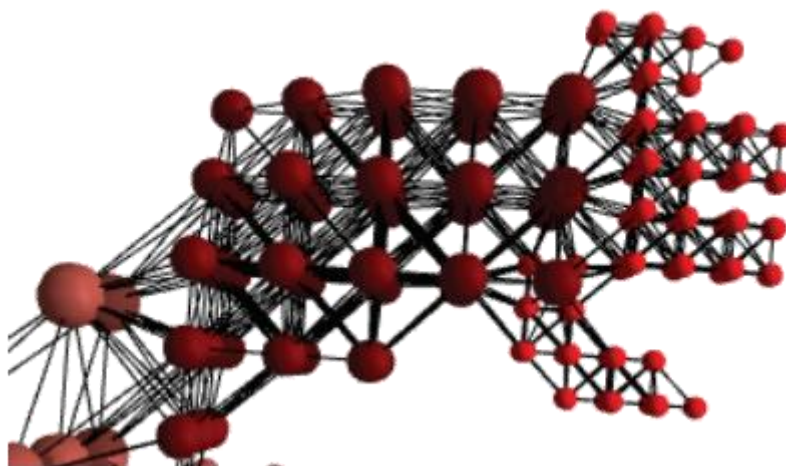
- $A^\top A$  を対角化

# 局所領域ごとの Shape Matching

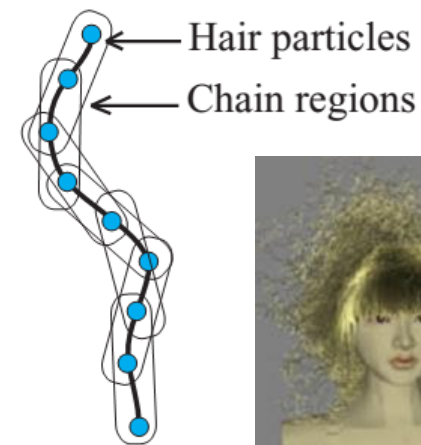
- より複雑な変形を実現
- 高速化などの拡張



ボクセル格子による局所領域



Octree による局所領域



一次元的構造を使った  
髪の毛のアニメーション

FastLSM; fast lattice shape matching for robust real-time deformation [Rivers SIGGRAPH07]

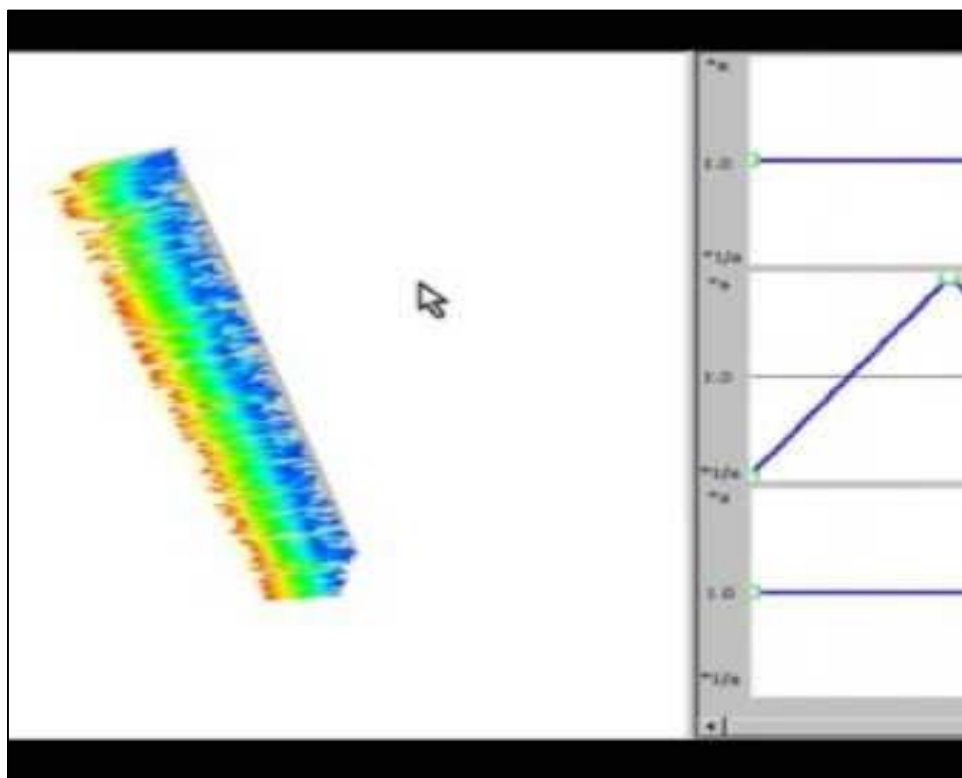
Fast adaptive shape matching deformations [Steinemann SCA08]

Chain Shape Matching for Simulating Complex Hairstyles [Rungjiratananon CGF10]



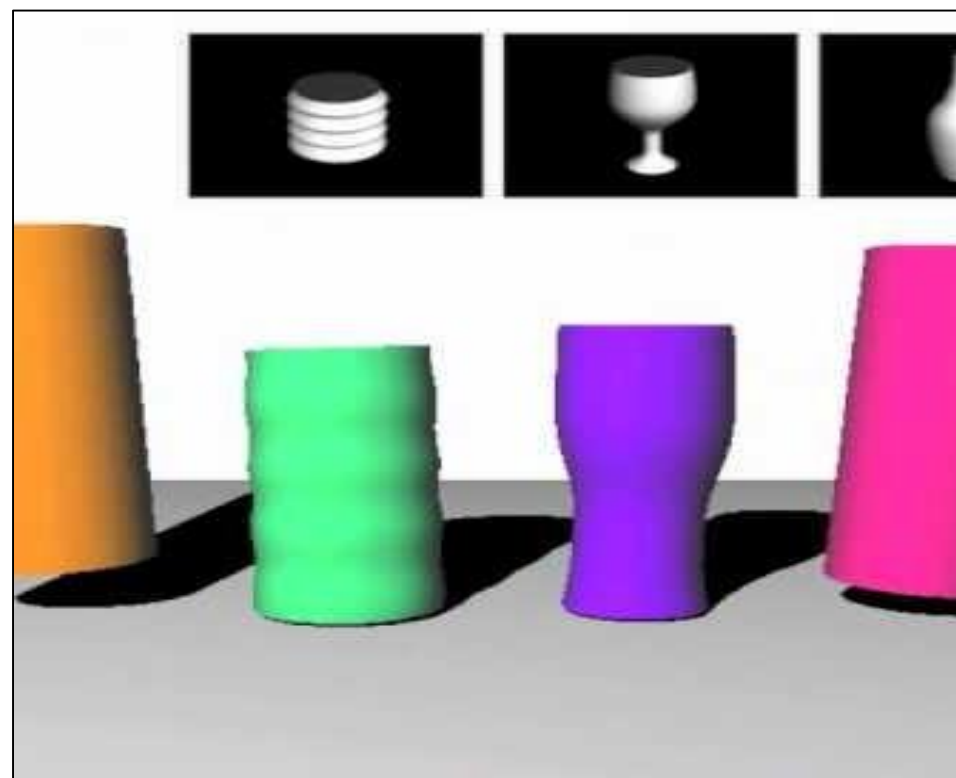
# 応用：局所領域の rest shape を変化させる

自律的に動く柔軟物体



<https://www.youtube.com/watch?v=0AWtQbVBi3s>

変形の仕方を例示によって  
制御できる弾性体

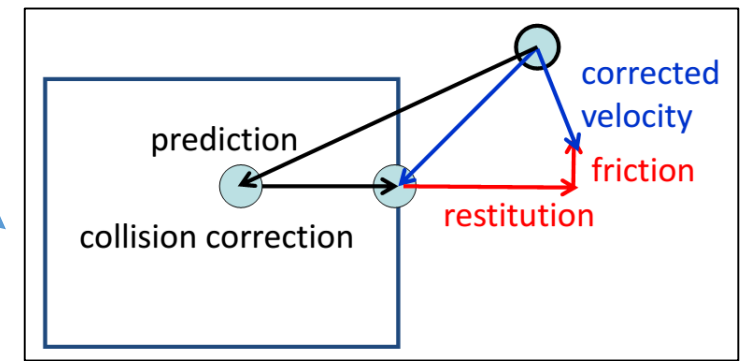
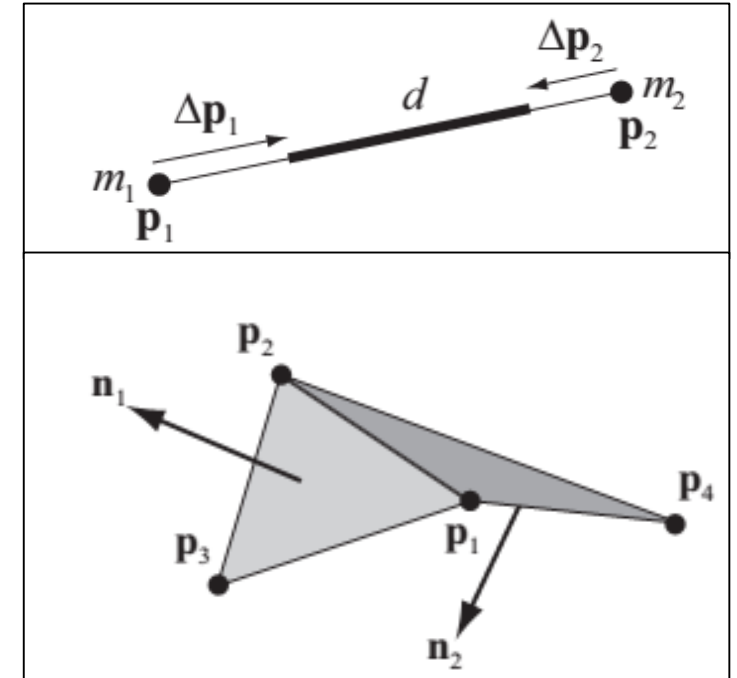


<https://www.youtube.com/watch?v=45QjojWiOEc>

# PBD 計算の流れ

- 入力：初期位置  $\mathbf{x}_0$ , 初期速度  $\mathbf{v}_0$
- フレーム毎の処理：

$\mathbf{p}$	$= \mathbf{x}_n + h \mathbf{v}_n$	prediction
$\mathbf{x}_{n+1}$	$= \text{modify}(\mathbf{p})$	position correction
$\mathbf{u}$	$= (\mathbf{x}_{n+1} - \mathbf{x}_n)/h$	velocity update
$\mathbf{v}_{n+1}$	$= \text{modify}(\mathbf{u})$	velocity correction



(衝突と摩擦の扱いについて、あまり理解できていない)

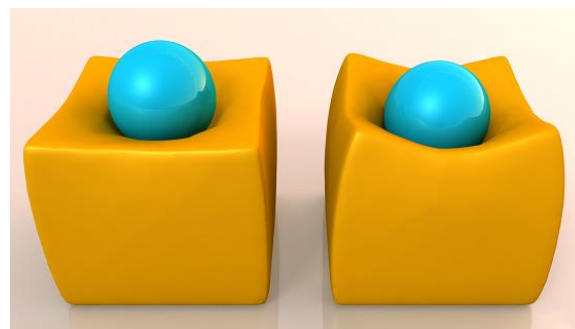
# PBD に導入できる様々な制約



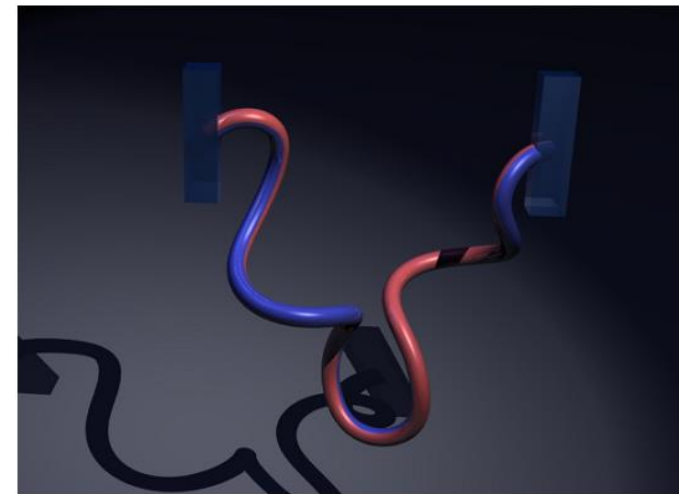
体積制約



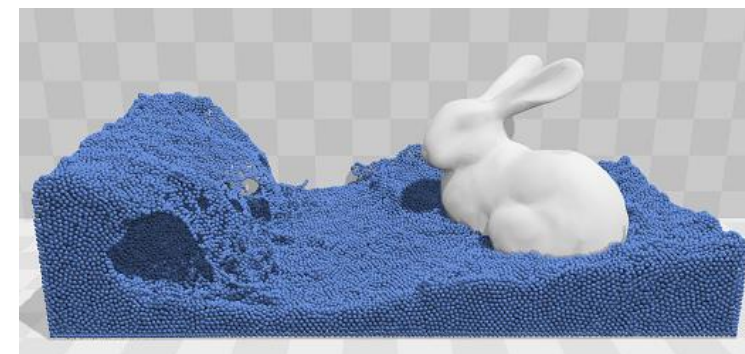
布の伸び幅制約



連続体の歪み制約



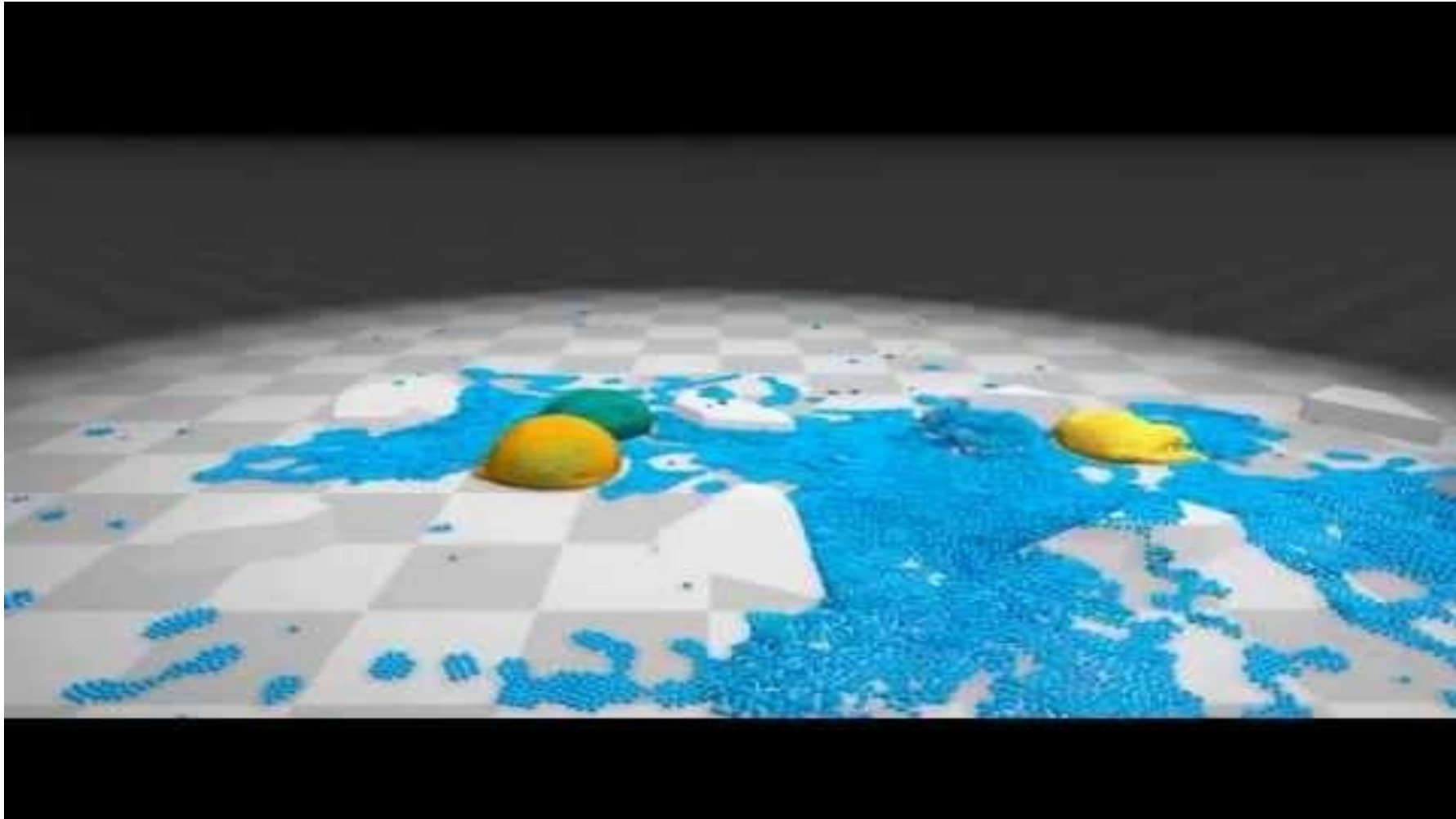
紐の捻り制約



粒子の密度制約

Robust Real-Time Deformation of Incompressible Surface Meshes [Dziol SCA11]  
Long Range Attachments - A Method to Simulate Inextensible Clothing in Computer Games [Kim SCA12]  
Position Based Fluids [Macklin SIGGRAPH13]  
Position-based Elastic Rods [Umetani SCA14]  
Position-Based Simulation of Continuous Materials [Bender Comput&Graph14]

# PBD の集大成：FLEX in PhysX

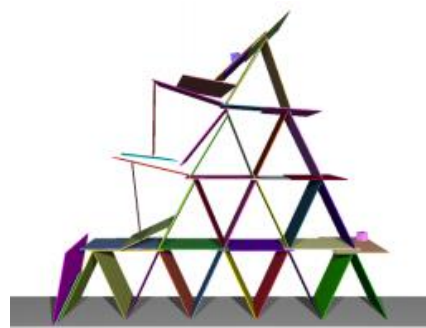


- NVIDIA が SDK を公開！

<https://www.youtube.com/watch?v=z6dAahLUbZg>

# 衝突判定

- また別のやっかいな問題
- PBD でよく使う方法
  - ボクセル格子のどのセルにパーティクルが存在するか記録
  - 近傍セルのパーティクル同士でのみ衝突判定
- 今年発表される PBD 用の手法



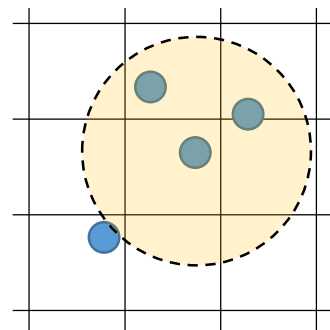
[Kaufman08]



[Harmon09]



[Zheng12]



[Muller15]

Collision detection for deformable objects [Teschner CGF05]

Staggered Projections for Frictional Contact in Multibody Systems [Kaufman SIGGRAPHAsia08]

Asynchronous Contact Mechanics [Harmon SIGGRAPH09]

Energy-based Self-Collision Culling for Arbitrary Mesh Deformations [Zheng SIGGRAPH12]

Air Meshes for Robust Collision Handling [Muller SIGGRAPH15]



# 参考情報

- サーベイ・チュートリアル等
  - A Survey on Position-Based Simulation Methods in Computer Graphics [Bender CGF14]
  - [http://www.csee.umbc.edu/csee/research/vangogh/I3D2015/matthias\\_muller\\_slides.pdf](http://www.csee.umbc.edu/csee/research/vangogh/I3D2015/matthias_muller_slides.pdf)
  - Position-Based Simulation Methods in Computer Graphics [Bender EG15Tutorial]
- ライブラリ、実装例等
  - <https://code.google.com/p/opencloth/>
  - <http://shapeop.org/>
  - <http://matthias-mueller-fischer.ch/demos/matching2dSource.zip>
  - <https://bitbucket.org/yukikoyama>
  - <https://developer.nvidia.com/physx-flex>
  - <https://github.com/janbender/PositionBasedDynamics>